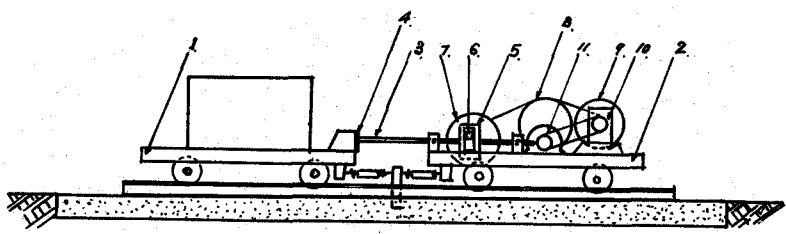


平衡式振動台とこれによる2、3の実験

鉄道技術研究所

針生幸治 毛愛貞久

① ここで云う平衡式振動台とは振動台を振動させるために生ずる反力を、不動とみなせるような基礎にとらないで、自由に動けるものの慣性で取るようにしたものである。このような型式のものは種々考えられるであらうが此度試作したものはオ1図の如きものである。即ちローラで受けた振動台①と之と同じような形をしたもう一つの平衡台②とをロッド③でつなぎ、一方を固定して④、他方は垂直の棒⑤を設けこの棒には駒⑥をはめ込み、この駒は回転円板⑦に偏心して取付けられている。この回転円板は平衡台に取付けられており之が回転すればロッドはその駒の取付け偏心の量



オ1図

に応じた振巾で左右方向に動くことになる。即ち振動台と平衡台との間隔は回転円板の回転量に応じて変化するわけである。回転円板はベルトによってブーリ⑧を通してフライホイール⑨につながりフライホイールは無段変速機⑩を通して電動機⑪につながる。駒の偏心量は回転円板軸に取付けた小型モーターにより外部より自由に運転中も変化出来るようになつており又無段変速機も運転中自由に操作出来る。それ故今電動機を始動すれば回転円板は変速機と駒の偏心量を適当に操作することにより、きまつた範囲において任意のサイクルで任意振巾に変化することが出来る。従つて振動台と平衡台との間隔は任意サイクルで任意振巾に変化することが出来るわけである。なお振動台と平衡台とは弱いバネによつて基礎につながれている。さてこのような状態において振動台はどのような振動をするかを次に考へてみる。上記のような構造は之を型式的に表せばオ2図の如く考えられる。即ち M_1, M_2 の二つの質量がバネ1、2によつて夫々1点につながれており M_1 と M_2 の間隔が強制的に $a \sin pt$ に変化する場合の振動となる。今 M_1, M_2 の間隔が最小の時の平衡の位置を基準にとりそれからの変位を夫々図の如く x, y に取つて運動方程式をつければ

$$M_1 \frac{d^2x}{dt^2} + k_1 x = M_2 \frac{d^2y}{dt^2} + k_2 y \quad \dots \dots \dots \text{①}$$

(k_1, k_2 は夫々バネ1、2のバネ常数)

オ2図

しかるに $x + y = a \sin pt \quad \dots \dots \dots \text{②}$

なる故①式は②を代入して $\frac{d^2x}{dt^2} + n^2 x = A \sin pt \quad \dots \dots \dots \text{③}$

但し $(n^2 = \frac{k_1 + k_2}{M_1 + M_2} \quad A = a \frac{k_2 - D^2 M_2}{M_1 + M_2})$

この解は $x = \Gamma_1 \cos nt + \Gamma_2 \sin nt + \frac{A}{n^2 - p^2} \sin pt$

この式は云うまでもなく最初の2項は自由振動の項で最後の項は強制振動の項である。実際問題としては加振力が定常的に作用する場合は強制振動のみが定常的に存続するとみられるので

$$x = \frac{A}{\pi^2 - p^2} \sin pt = \frac{\frac{K_1 - M_2 p^2}{(K_1 + K_2) - (M_1 + M_2)p^2}}{(K_1 + K_2) - (M_1 + M_2)p^2} a \sin pt$$

となる。バネがない場合即ち $K_1 = K_2 = 0$ とすれば

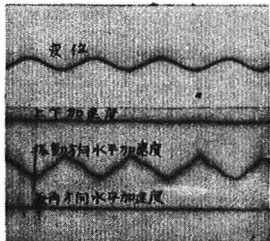
$$x = \frac{M_2}{M_1 + M_2} a \sin pt$$

即ち重量に逆比例した振巾で振動をする、そして何れの場合も M_1, M_2 の質量が変化ないとすれば (定数) $\times \sin pt$ の振動をすることになる。

性能を略記すれば次の如くである。

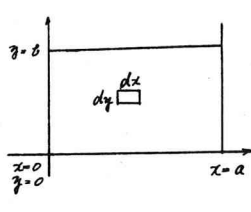
サイクル	1 ~ 10 サイクル/sec (運転中可変)
最大全振巾	10 cm
最大加速度	1000 ガル
振動台寸法	182 cm × 91 cm
電動機	3相 2馬力誘導電動機
試験載荷重量	1500 kg

オ3図は約3サイクル全振巾1.2 cmの時の台の変位、上下方向加速度、振動方向加速度、並に之と直角方向水平加速度をオシロによつて取つたものを示す。変位は大体良好であるが振動方向加速度(上より3つ目の曲線)は余りきれいな形を示していない。之は機械が完全に調整されず多少ガタがあつた為で之は加速度が大きくなる程はげしくなる傾向を示したがこのガタをなくせばなおるものである。このような振動台は比較的小さい馬力の原動機でフライホイールを用いて低サイクルから高サイクルまで比較的簡単に大きな荷重を振動させることが出来ると共に簡単な基礎で間にあい且つ周囲に及ぼす振動を非常に小さくすることが出来るのを特色とする。



オ3図

(2) 次に擁壁或は地中構造物が地震其の他の震動によつてどのような圧力を受けかかる研究をすゝめる第一歩として本振動台を用い各種実験を行つたので之について述べるがその前に一応振動による地中圧力をつけて考えてみよう。



オ4図

座標を図の如く取つてこの座標が $w \cos pt$ の振動をする場合の微

小四辺形の運動方程式を求めるに次の如くなる。

$$\frac{\partial^2 u}{\partial x^2} = C_1^2 \frac{\partial^2 u}{\partial t^2} + C_2^2 \frac{\partial^2 u}{\partial y^2} + C_3^2 \frac{\partial^2 u}{\partial x \partial y} + C_4^2 \frac{\partial^2 u}{\partial y \partial x} + w p^2 \cos pt \quad \text{--- (1)}$$

之を次の条件式で解いてみる。

$$\begin{cases} x=0 & u=0 \\ x=a & u=0 \end{cases} \quad \begin{cases} y=0 & u=0 \\ y=b & \frac{\partial u}{\partial y}=0 \end{cases} \quad \begin{cases} t=0 & u=0 \\ t=\infty & \frac{\partial u}{\partial t}=0 \end{cases}$$

$$U = \sum_{m=0}^{\infty} \sum_{n=0}^{\infty} \frac{16 w p^2}{(2m+1)(2n+1)\pi^2} \left[\frac{(\alpha_1 \alpha_2 - p^2) \cos pt - p(\alpha_1 + \alpha_2) \sin pt}{(\alpha_1^2 + p^2)(\alpha_2^2 + p^2)} + \frac{\alpha_1 e^{\alpha_1 t}}{(\alpha_1 - \alpha_2)(\alpha_1^2 + p^2)} - \frac{\alpha_2 e^{\alpha_2 t}}{(\alpha_1 - \alpha_2)(\alpha_2^2 + p^2)} \right] \sin \frac{2m+1}{a} \pi x \cdot \sin \frac{2n+1}{b} \pi y \quad \text{--- (2)}$$

但し α_1, α_2 は $D^2 + AD + B = 0$ の根

$$\text{即ち } \alpha_1, \alpha_2 = \frac{-A \pm \sqrt{A^2 - 4B}}{2}$$

$$\begin{cases} A = [C_3^2 \left(\frac{2m+1}{a}\right)^2 + C_4^2 \left(\frac{2n+1}{2\delta}\right)^2] \\ B = [C_1^2 \left(\frac{2m+1}{a}\right)^2 + C_2^2 \left(\frac{2n+1}{2\delta}\right)^2]. \end{cases}$$

又 $C_1^2 = \frac{E_0}{\rho}$
 $C_2^2 = \frac{\mu_0}{\rho}$
 $C_3^2 = \frac{E_1}{\rho}$
 $C_4^2 = \frac{\mu_1}{\rho}$

E_0 = 土の弾性係数
 E_1 = 土の弾性粘性係数
 μ_0 = 土の剛性率
 μ_1 = 土の剪断粘性係数

②式に於て $A = 0$ とすれば

$$U = \sum_{m=0}^{\infty} \sum_{n=0}^{\infty} \frac{16 w p^2}{(2m+1)(2n+1)\pi^2(p^2 - B)} [\cos \sqrt{B}x - \cos pt] \sin \frac{2m+1}{a} \pi x \sin \frac{2n+1}{2\delta} \pi y \quad \text{③}$$

$\frac{U}{p\sqrt{B}}$ ならびに $\frac{U}{p\sqrt{B}} = \frac{8 w p t \sin p t}{(2m+1)(2n+1)\pi^2} \sin \frac{2m+1}{a} \pi x \sin \frac{2n+1}{2\delta} \pi y \quad \text{（但し } m, n \text{ は } p = \sqrt{B} \text{ を満足する場合の } m, n \text{ の値）}$ ④

即ち時間と共に U は増大してゆくことは共振の状態である。

今 $C_1 = 120 \text{ m/sec.}$, $C_2 = 60 \text{ m/sec.}$, $a = 12 \text{ m}$, $\delta = 3 \text{ m}$ の場合の第1次の共振周波数を求めてみる

$$\therefore N = 2.25 \text{ Cycle/sec}$$

次に圧力及び剪断力について考える

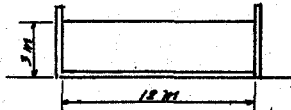
$$\sigma = E_0 \frac{\partial U}{\partial x} + E_1 \frac{\partial^2 U}{\partial x^2} \quad \tau = \mu_0 \frac{\partial U}{\partial y} + \mu_1 \frac{\partial^2 U}{\partial y^2}$$

②, ③, ④式より夫々

$$\begin{aligned} O_1 &= \sum_{m=0}^{\infty} \sum_{n=0}^{\infty} \left[E_0 \left\{ \frac{(d_1 d_2 - p^2) \cos pt - p(d_1 + d_2) \sin pt}{(d_1^2 + p^2)(d_2^2 + p^2)} + \frac{d_1 e^{d_1 x}}{(d_1 - d_2)(d_1^2 + p^2)} - \frac{d_2 e^{d_2 x}}{(d_1 - d_2)(d_2^2 + p^2)} \right\} \right. \\ &\quad \left. + E_1 \left\{ - \frac{(d_1 d_2 - p^2) p \sin px + p^2(d_1 + d_2) \cos px}{(d_1^2 + p^2)(d_2^2 + p^2)} + \frac{d_1^2 e^{d_1 x}}{(d_1 - d_2)(d_1^2 + p^2)} - \frac{d_2^2 e^{d_2 x}}{(d_1 - d_2)(d_2^2 + p^2)} \right\} \right] \times \frac{16 w p^2}{(2n+1)\pi a} \cos \frac{2m+1}{a} \pi x \sin \frac{2n+1}{2\delta} \pi y \\ &= K_1 \times \frac{16 w p^2}{(2n+1)\pi a} \cos \frac{2m+1}{a} \pi x \sin \frac{2n+1}{2\delta} \pi y \quad \text{⑤} \end{aligned}$$

$$O_2 = \sum_{m=0}^{\infty} \sum_{n=0}^{\infty} E_0 \frac{16 w p^2 (\cos \sqrt{B}x - \cos pt)}{(2n+1)\pi a (p^2 - B)} \cos \frac{2m+1}{a} \pi x \sin \frac{2n+1}{2\delta} \pi y \quad \text{⑥}$$

$$O_3 = E_0 \frac{8 w p t \cos pt}{(2n+1)\pi a} \cos \frac{2m+1}{a} \pi x \sin \frac{2n+1}{2\delta} \pi y \quad \text{⑦}$$



全く同様にても求まるが之は省略する。

次に境界条件を次の如くすれば全く同じようにして圧力が求められる

$$\begin{cases} x = 0 & u = 0 \\ x = a & \frac{\partial u}{\partial x} = 0 \end{cases} \quad \begin{cases} y = 0 & u = 0 \\ y = \delta & \frac{\partial u}{\partial y} = 0 \end{cases} \quad \begin{cases} x = 0 & u = 0 \\ x = a & \frac{\partial u}{\partial x} = 0 \end{cases}$$

$$\begin{cases} O'_1 = K_1 \times \frac{8 w p^2}{(2n+1)\pi a} \cos \frac{2m+1}{a} \pi x \sin \frac{2n+1}{2\delta} \pi y \\ O'_2 = \sum_{m=0}^{\infty} \sum_{n=0}^{\infty} E_0 \frac{8 w p^2 (\cos \sqrt{B}x - \cos pt)}{(2n+1)\pi a} \cos \frac{2m+1}{a} \pi x \sin \frac{2n+1}{2\delta} \pi y \\ O'_3 = E_0 \frac{4 w p t}{(2n+1)\pi a} \cos \frac{2m+1}{a} \pi x \sin \frac{2n+1}{2\delta} \pi y \end{cases} \quad \text{⑧, ⑨, ⑩}$$

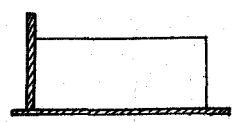
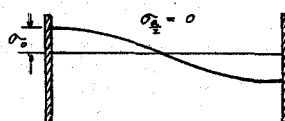


Fig. 6



今 O と O' について考える

$$x = 0 \text{ に } \tau \text{ は } O'_{x=0} = \frac{O_{x=0}}{2}$$

$$x = \frac{a}{2} \text{ に } \tau \text{ は } O'_{x=a/2} = 0$$

$$O'_{x=a/2} = \varphi(x) \Phi(y) \cos \frac{2m+1}{4} \pi$$

$$\text{⑪ 1次振動にて } \tau = \frac{1}{2} O'_{x=0} \cdot O_{x=0}$$

$$\text{⑫ 2次振動にて } \tau = -\frac{1}{2} O'_{x=a/2} \cdot O_{x=0}$$

何れにしても上述のような考え方をすれば壁より離れば圧力振巾は減少して来るようと思はれる。地中構造物の耐震計算に

Fig. 7

はこのような傾向は種々の示唆を与えるものであるが果して実際にはどうになるか、もし地中に構造物があればどうなるのか、それらを知ることは非常に重要であると考えられるそれで今回之等の定性的な傾向だけでも知りたいと思い種々の実験を行つたのでその結果について述べる。

(3) 実験要旨

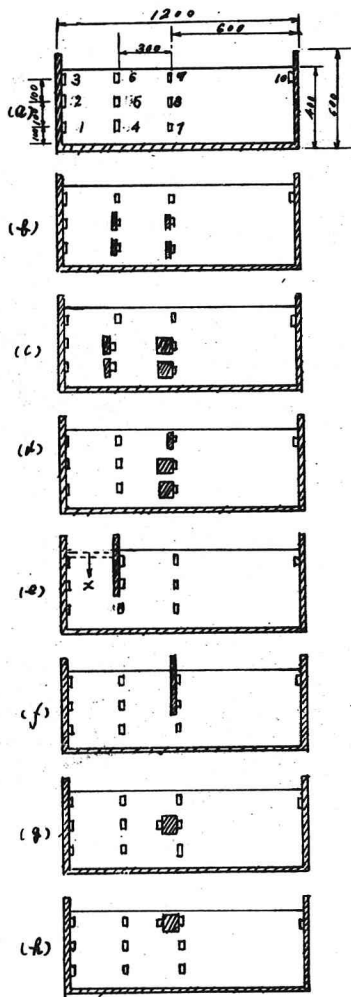


図 8

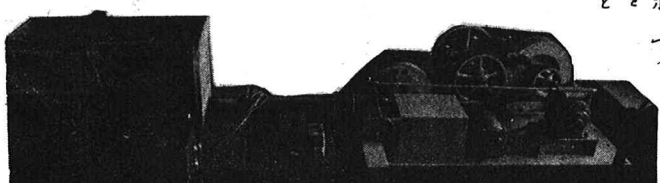


図 9

前述の振動台に $120\text{cm} \times 50\text{cm} \times 60\text{cm}$ (大きさ、長さ、巾、深さ) の砂箱をつくりては深さ 40cm まで豊浦の標準砂をつめ種々の条件で地中圧力の測定を行つた。土圧計は 3cm 直径、 0.4cm 厚さで受圧面のダイヤフラム裏側はウイヤーストレングージをはつたものである。砂のつめかたは 10cm 毎に十分しめ固まるように振動を与えるながら行ない試験毎に入れかえた。砂中の土圧計の位置は試験終了後掘りおこして移動を調べたが大体その量は小さかつた。なお砂の比重は小さいです。 $1\text{cm} \times 1\text{cm} \times 1\text{cm}$ を砂の中に入れるとで掘りおこしてその中の砂の比重をはかつた。土圧計の基本位置は大体図 8 の如くである。

測定事項は大体次の如くである。

- a) 10cm 間の圧力変化を加速度を変えて測定した。
- b) 4, 5, 7, 8 の位置 12.9cm 高さ、 1cm 巾、 49cm の長さの木の板を入れて土圧計を取り付けた。
- c) 7, 8 の板を 9cm 高さ、 10cm 巾、 49cm 長さの角材にした。
- d) 9 の位置に板(前と同じ寸法)を入れた。
- e) 5, 6 の位置に固定壁を設けてその砂の高さを変えながら測定した。
- f) 8, 9 の位置に $49\text{cm} \times 30\text{cm} \times 2.5\text{cm}$ の自由可動壁を設けた。
- g) 8 の位置に角材 1 ケを入れ、両側で圧力を測定。
- h) 9 の位置に角材 1 ケを入れ、両側で圧力を測定。
- i) a) の状態で水を入れ粘着力をもたせて振動させた。

今回の実験は固くつめた砂の場合の実験になつたのであるが之のような場合一般に圧力は加速度が相当大きくなるまで余り表れず $400 \sim 500$ ガル程度で急に増加するこ

とを示し、殊に a) の場合は 700 ガル附近になつて急に増加を示し、この場合固定壁に接する土は一體の楔となつて上下にも振動した。之等の結果については会場において報告する。